

OPRAVNÝ LÍSTEK K BAKALÁŘSKÉ PRÁCI

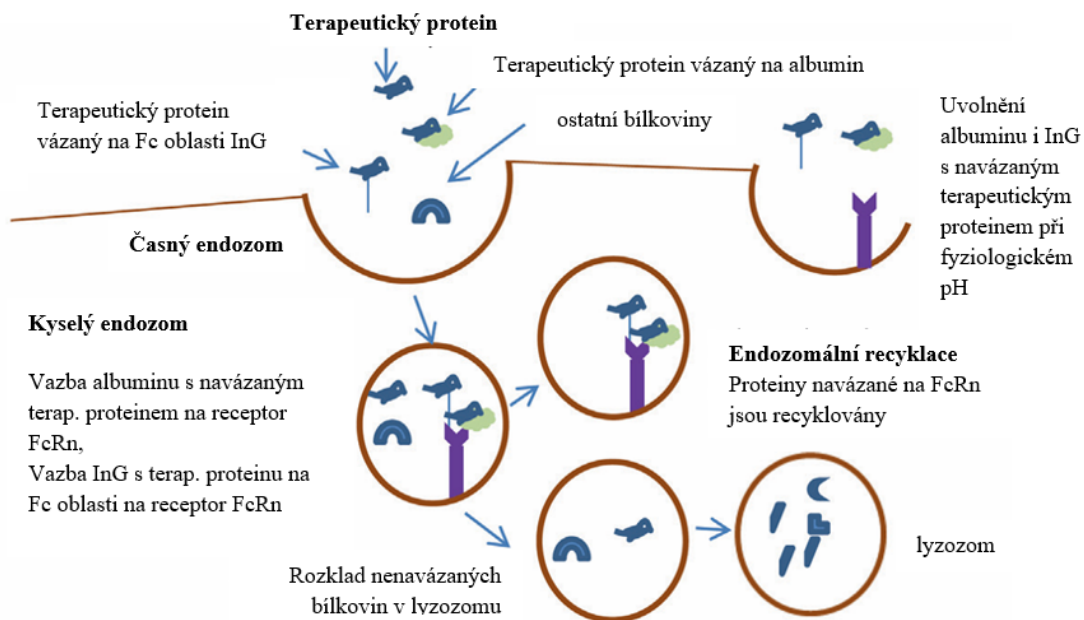
Příprava anti-CD20 vazebné domény a její konjugace na polymerní nosič

Tereza Cibiková

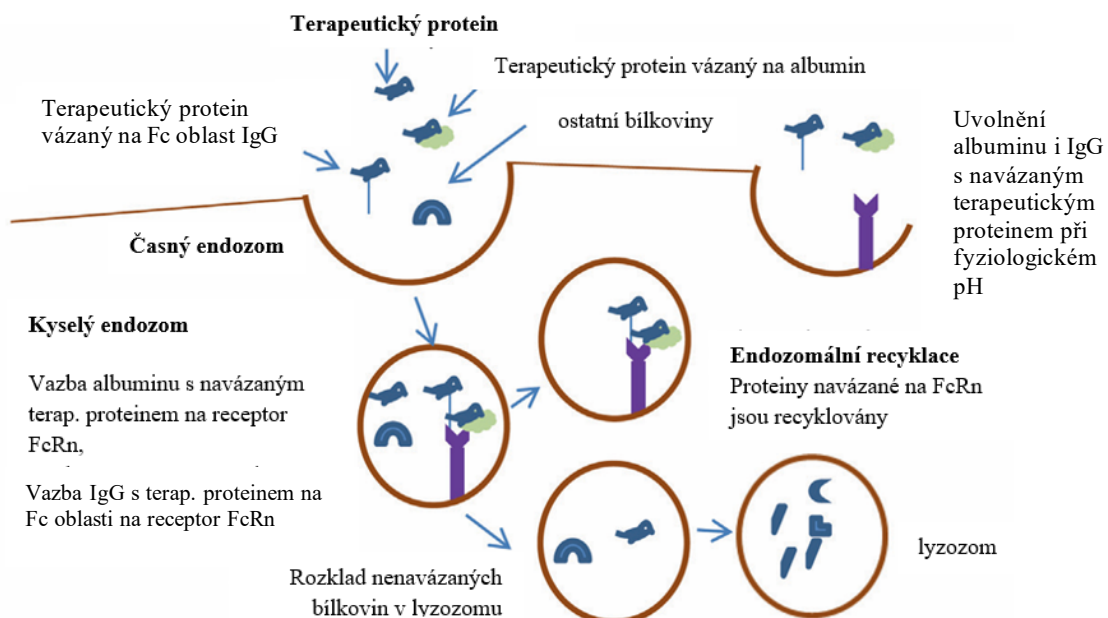
Praha 2024

Původní verze:

Na str. 17 v kapitole 1.4 byl v obr. 4. špatný termín **InG** nahrazen správným termínem **IgG**

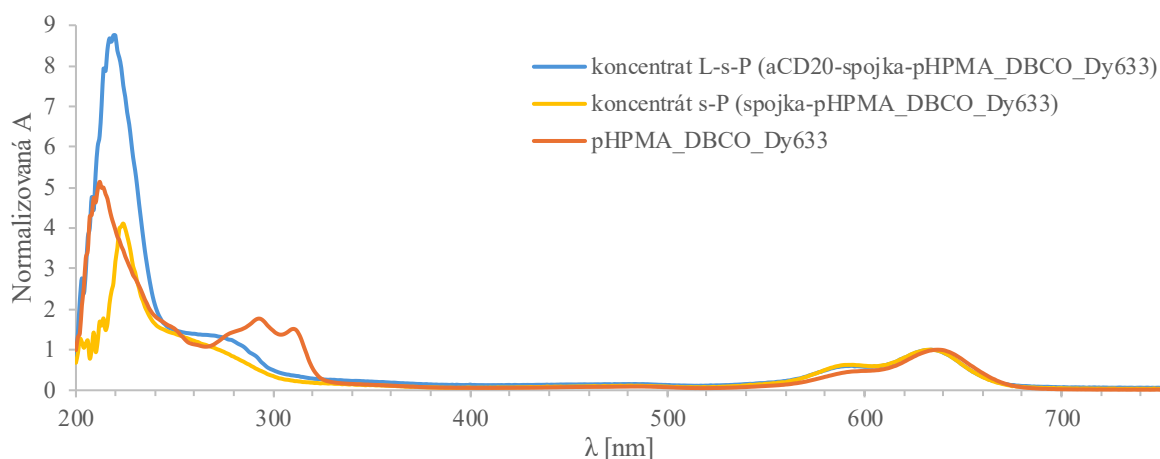


Oprava:



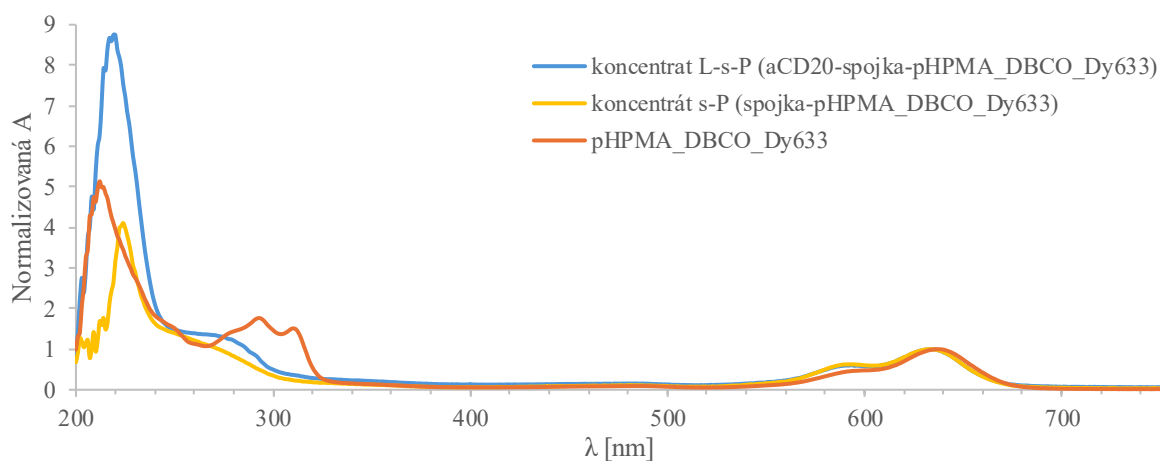
Původní verze:

Na str. 44 v kapitole 5.2.1.4 byl popis obrázku upraven z **obr.14** na **obr 14.1**



Obr. 14: Normalizovaná absorpční spektra pro polymer pHPMA_DBCO_Dy633, koncentrát polymerního nosiče s navázanou spojkou (s-P) a koncentrát připraveného polymerního konjugátu (L-s-P). Spektra byla měřena v kyvetě s optickou dráhou 1 cm na spektrofotometru Cary 60 UV-VIS (Agilent). Jako reference byl použit pufr PBS-TK. Koncentrace čistého polymeru činila 0,1 mg/ml. Koncentrace koncentrátů s-P ani L-s-P nebyla známa. Všechna spektra jsou normalizována tak, aby absorbance při 633 nm odpovídala jedné.

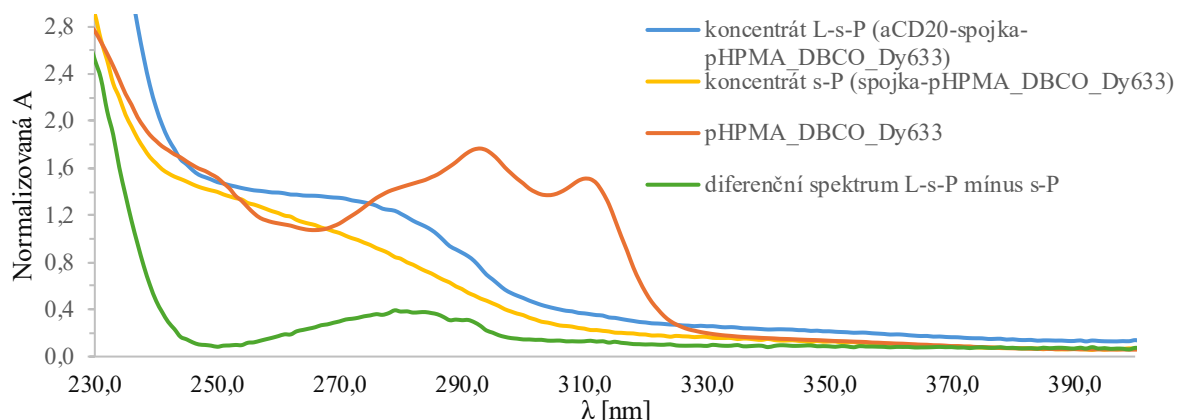
Oprava:



Obr. 14.1: Normalizovaná absorpční spektra pro polymer pHPMA_DBCO_Dy633, koncentrát polymerního nosiče s navázanou spojkou (s-P) a koncentrát připraveného polymerního konjugátu (L-s-P). Spektra byla měřena v kyvetě s optickou dráhou 1 cm na spektrofotometru Cary 60 UV-VIS (Agilent). Jako reference byl použit pufr PBS-TK. Koncentrace čistého polymeru činila 0,1 mg/ml. Koncentrace koncentrátů s-P ani L-s-P nebyla známa. Všechna spektra jsou normalizována tak, aby absorbance při 633 nm odpovídala jedné.

Původní verze:

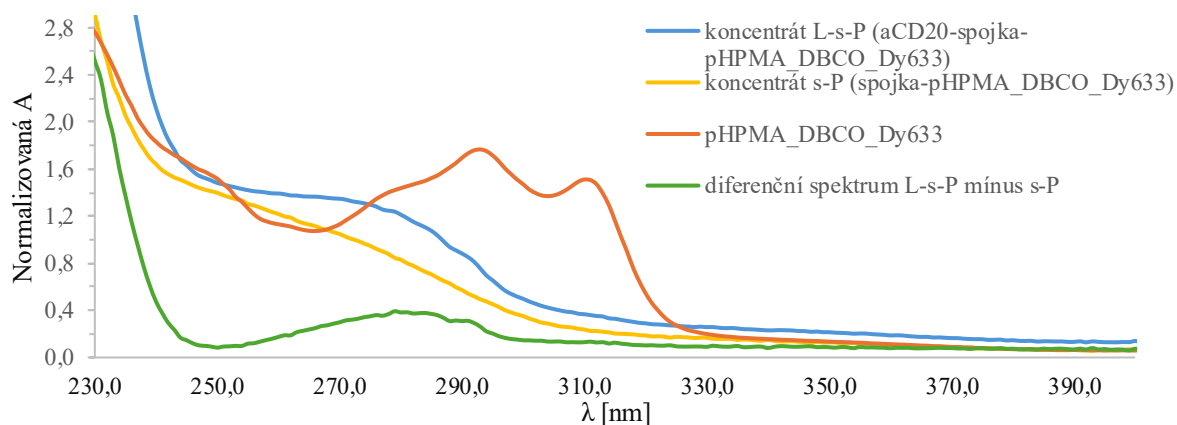
Na str. 44 v kapitole 5.2.1.4 byl popis obrázku upraven z **obr.14** na **obr 14.2**



Obr. 14: Výřez z grafu normalizovaných absorpčních spekter pro polymer pHPMA_DBCO_Dy633, koncentrát polymerního nosiče s navázanou spojkou (s-P) a koncentrát připraveného terapeutického polymerního konjugátu (L-s-P) a dopočtené diferenční absorpční spektrum pro anti-CD20 vazebnou doménu konjugovanou v L-s-P.

Spektra byla měřena v kyvetě Micro Cell Rect Quartz 10 mm 40 μ l (Agilent Technologies) s optickou dráhou 1 cm na spektrofotometru Cary 60 UV-VIS (Agilent). Jako reference byl použit pufr PBS-TK. Koncentrace čistého polymeru činila 0,1 mg/ml. Koncentrace koncentrátů s-P ani L-s-P nebyla známá. Všechna naměřená spektra (tj spektra polymerního nosiče, konjugátu spojky s polymerem a terapeutika L-s-P) jsou normalizována tak, aby absorpce na 633 nm odpovídala jedné. Poslední spektrum odpovídající diferenčnímu rozdílu spektra s-P od L-s-P by mělo teoreticky odpovídat množství navázaných molekul anti-DC20 vazebné domény na polymerním nosiči pHPMA.

Oprava:



Obr. 14.2: Výřez z grafu normalizovaných absorpčních spekter pro polymer pHPMA_DBCO_Dy633, koncentrát polymerního nosiče s navázanou spojkou (s-P) a koncentrát připraveného terapeutického polymerního konjugátu (L-s-P) a dopočtené diferenční absorpční spektrum pro anti-CD20 vazebnou doménu konjugovanou v L-s-P.

Spektra byla měřena v kyvetě Micro Cell Rect Quartz 10 mm 40 μ l (Agilent Technologies) s optickou dráhou 1 cm na spektrofotometru Cary 60 UV-VIS (Agilent). Jako reference byl použit pufr PBS-TK. Koncentrace čistého polymeru činila 0,1 mg/ml. Koncentrace koncentrátů s-P ani L-s-P nebyla známá. Všechna naměřená spektra (tj spektra polymerního nosiče, konjugátu spojky s polymerem a terapeutika L-s-P) jsou normalizována tak, aby absorpce na 633 nm odpovídala jedné. Poslední spektrum odpovídající diferenčnímu rozdílu spektra s-P od L-s-P by mělo teoreticky odpovídat množství navázaných molekul anti-DC20 vazebné domény na polymerním nosiči pHPMA.

Původní verze:

Na str. 43 v kapitole 5.2.1.4:

S využitím fluorescenční sondy Dy633 bylo taktéž usilováno o zjištění alespoň přibližného množství navázaných molekul konstruktu anti-CD20 na polymerním nosiči pHPMA, kdy byly postupně proměřeny absorpční spektra samotného polymeru pHPMA_DBCO_Dy633, koncentráту konjugátu spojka-pHPMA_DBCO_Dy633 (dále značeno jen jako s-P) a koncentráту polymerního konjugátu L-s-P (uvedeno je absorpční spektrum pouze pro koncentrát konjugátu L-s-P_1 (viz obr. 12, str. 42). Aby však data mohla být mezi sebou porovnáována, byla všechna proměřená spektra normalizována tak, aby absorpce Dy633 na 633 nm odpovídala jedné (**obr. 14**, str. 44).

Oprava:

S využitím fluorescenční sondy Dy633 bylo taktéž usilováno o zjištění alespoň přibližného množství navázaných molekul konstruktu anti-CD20 na polymerním nosiči pHPMA, kdy byly postupně proměřeny absorpční spektra samotného polymeru pHPMA_DBCO_Dy633, koncentráту konjugátu spojka-pHPMA_DBCO_Dy633 (dále značeno jen jako s-P) a koncentráту polymerního konjugátu L-s-P (uvedeno je absorpční spektrum pouze pro koncentrát konjugátu L-s-P_1 (viz obr. 12, str. 42). Aby však data mohla být mezi sebou porovnáována, byla všechna proměřená spektra normalizována tak, aby absorpce Dy633 na 633 nm odpovídala jedné (**obr. 14.1**, str. 44).

Původní verze:

Na str. 44 v kapitole 5.2.1.4:

Po znormalizování naměřených spektrálních křivek na 633 nm bylo možné od sebe jednotlivá spektra odečíst – konkrétně od spektra terapeutika L-s-P bylo odečteno spektrum konjugátu s-P. Tímto odečtem tak bylo v oblasti kolem 280 nm, kde **absorbuje peptidová vazba** v konstruktu anti-CD20, získáno spektrum samotné anti-CD20 vazebné domény, kterou se úspěšně podařilo navázat na polymerní nosič (**obr. 15**).

Oprava:

Po znormalizování naměřených spektrálních křivek na 633 nm bylo možné od sebe jednotlivá spektra odečíst – konkrétně od spektra terapeutika L-s-P bylo odečteno spektrum konjugátu s-P. Tímto odečtem tak bylo v oblasti kolem 280 nm, kde **absorbují aromatické aminokyseliny (tryptofan a tyrosin)** v konstruktu anti-CD20, získáno spektrum samotné anti-CD20 vazebné domény, kterou se úspěšně podařilo navázat na polymerní nosič (**obr. 14.2**).